

ИССЛЕДОВАНИЕ МЕХАНИЗМОВ ФОРМИРОВАНИЯ 1/f-ШУМА В p-n-ПЕРЕХОДАХ

Лукьянчикова Н. Б., Гарбар Н. П., Петричук М. В., Кроцман Д. И.

На основании предложенного метода идентификации 1/f-шума, обусловленного флюктуациями заселенности центров в истощенном слое p-n-перехода, экспериментально показано, что в кремниевых p-n-переходах такой шум действительно существует и приводит к наблюдению весьма высоких уровней избыточных токовых флюктуаций. Экспериментально установлено также существование в p-n-переходах 1/f-шума, не обусловленного флюктуациями заселенности центров в переходе и обладающего свойствами, характерными для так называемого μ -шума.

Введение. Хотя выяснению механизмов формирования 1/f-шума посвящено огромное количество работ, ясности в этом вопросе все еще нет. Так, значительной популярностью пользуется идея о связи такого шума в полупроводниках с некоторыми особенностями процессов рассеяния носителей заряда (так называемый μ -шум) [1, 2]. Ряд экспериментальных данных, полученных, в частности, при исследованиях шума биполярных транзисторов [3, 4] и полупроводниковых диодов [5-7], свидетельствует в пользу реальности подобной ситуации. Однако отсутствие достаточно строгой физической модели μ -шума существенно затрудняет поиск экспериментальных доказательств существования такого шума.

Вместе с тем следует подчеркнуть, что даже если μ -флюктуации действительно существуют, они не являются, по-видимому, единственным возможным источником 1/f-шума. Весьма реальной представляется, например, возможность существования 1/f-шума, связанного с процессами, протекающими на поверхности полупроводника [8, 9]. Кроме того, при определенных условиях 1/f-шум мог бы возникать и из-за существования 1/f-флюктуаций числа свободных или захваченных на ловушках носителей заряда (так называемая n-модель). В качестве таких условий наиболее часто рассматривают наличие полосы распределенных по энергетической глубине уровней в запрещенной зоне полупроводника [8, 10, 11]. Однако для количественного сопоставления теоретически рассчитанных характеристик 1/f-шума с экспериментальными необходимы подробные данные о параметрах соответствующих центров, которые далеко не всегда удается получить. Поэтому вопрос об идентификации 1/f-шума на опыте до настоящего времени оставался открытым.

Следует подчеркнуть, что при формировании 1/f-шума, обусловленного флюктуациями числа носителей в структурах с потенциальными барьерами, основную роль играют 1/f-флюктуации их числа на ловушках, расположенных в областях пространственного заряда (ОПЗ) p-n-переходов, гетеропереходов либо переходов металл-полупроводник. При этом механизм возникновения избыточного токового шума состоит в следующем [11-13].

Существование флюктуаций заселенности рассматриваемых ловушек означает, что в ОПЗ флюктуируют объемный заряд, а следовательно, и зависящая от него ширина ОПЗ. Флюктуации последней в свою очередь модулируют протекающие через барьерную область рекомбинационную (i_r) и туннельную составляющие тока, приводя таким образом к появлению избыточного токового шума.

Понятно, что если речь идет о транзисторной структуре, то описанный механизм может приводить к существованию избыточного шума не только базо-

вого тока. Дело в том, что ОПЗ эмиттера обычно расположена в материале базы. Поэтому рассматриваемые флуктуации ее ширины W_s будут приводить к флуктуациям толщины базы w_b и, следовательно, модулировать величину коллекторного тока, обусловливая существование соответствующего компонента избыточного шума в коллекторном токе j_e .

Это обстоятельство легло в основу предложенного и реализованного в настоящей работе метода, позволившего впервые получить экспериментальные доказательства существования $1/f$ -шума, обусловленного $1/f$ -флуктуациями ширины $p-n$ -перехода, а следовательно, и существования $1/f$ -флуктуаций за-селенности центров в полупроводнике.

1. Теория

Рассчитаем спектральные плотности избыточного шума базового и коллекторного токов в транзисторной структуре, обусловленные флюктуациями за-селенности центров в эмиттерном переходе. Пусть структура включена по схеме с общим эмиттером. При этом эквивалентную спектральную плотность избыточного шума базового тока S_e определяют в результате измерений спектральной плотности избыточного шума коллекторного тока S_e^H , проводимых при закороченных по переменному току эмиттере и базе, т. е. в режиме холостого хода (хх) на входе, причем $S_e = S_e^H / \beta^2$, где β — коэффициент усиления по току. Эк-вивалентную спектральную плотность избыточного шума коллекторного тока S_e^H измеряют при закороченных по переменному току эмиттере и базе, т. е. в режиме короткого замыкания (кз) на входе [3].

Рассмотрим планарную транзисторную структуру с прямоугольным p^+ — n -эмиттером, длина которого равна l , а ширина — Z . Базовый контакт расположен справа от эмиттера и параллелен его ширине. Пусть ось x параллельна длине эмиттерного перехода, точка $x=0$ находится на ближайшем к базовому контакту крае эмиттера, с ростом x расстояние от базового контакта увеличивается. Ось y направим перпендикулярно плоскости эмиттерного перехода, точка $y=0$ находится на границе между p^+ - и n -слоями, с ростом y расстояние от p^+ -слоя увеличивается.

Будем считать, что туннельная составляющая базового тока и связанный с нею шум малы по сравнению с током рекомбинации в ОПЗ эмиттера и его шумом. Будем считать также, что эта рекомбинационная составляющая вносит основной вклад в базовый ток. Тогда при $eU > 2kT$ имеем [14, 15]

$$j_e \sim [\exp(eU/kT)]/w_b, \quad (1)$$

$$j_p = \frac{enW_s}{\tau_s} \frac{kT}{e(U_{bi} - U)} \exp \frac{eU}{2kT}, \quad (2)$$

$$j_b = \int_x^l (j_p/w_b) dx, \quad (3)$$

$$U = U(0) - \int_0^x j_b \rho dx, \quad (4)$$

где j_e , j_p , j_b — плотности коллекторного тока, тока рекомбинации в ОПЗ эмиттера и протекающего вдоль эмиттерного перехода базового тока соответственно, e — заряд электрона, n_s — собственная концентрация носителей в полупроводнике, W_s — ширина эмиттерного перехода, τ_s — время жизни носителей в ОПЗ эмиттерного перехода, k — постоянная Больцмана, T — температура, U_{bi} — диффузионный потенциал, U — прямое напряжение на ОПЗ, w_b — толщина базы, ρ — удельное сопротивление базовой области.

Из (1)–(4) следует, что j_e , j_p , j_b и U зависят от x .

Флуктуации заселенности центров в ОПЗ эмиттерного перехода приводят к флуктуациям величин U и W_s , которые связаны между собой следующим соотношением [12]:

$$NW_s \delta W_s - \frac{\epsilon}{e} \delta U = \delta n_t y \Delta y, \quad (5)$$

где δW_s и δU — флуктуации W_s и U , обусловленные флуктуацией δn_t , концентрации n_t электронов на центрах, которая произошла в малом объеме $Z \Delta x \Delta y$, расположенному в ОПЗ в окрестности точки с координатами $x, y; N$ — концентрация доноров в базе; ϵ — диэлектрическая проницаемость полупроводника.

Для δj_e , δj_p , δj_b и δU , обусловленных флуктуацией δn_t , в области достаточно низких частот, при которых изменения j_e , j_p , j_b и U успевают следить за изменениями n_t , из (1)–(4) при $e(U_{bi} - U) \gg 2kT$ получаем

$$\delta j_e = (j_e/w_0) \delta W_s + (\epsilon j_e/kT) \delta U, \quad (6)$$

$$\delta j_p = (j_p/W_s) \delta W_s + (\epsilon j_p/2kT) \delta U, \quad (7)$$

$$\delta j_b = \int_x^l (\delta j_p/w_0) dx, \quad (8)$$

$$\delta U = \delta U(0) - \int_0^x \delta j_b p dx, \quad (9)$$

где учтено, что $\delta w_0 = -\delta W_s$. Поскольку j_e , j_p , j_b и U зависят от x , из (5)–(9) следует, что величины δj_e , δj_p , δj_b и δU являются функциями обеих координат (x и y).

Заметим, что в зависимости от режима измерения величина δU может изменяться от $\delta U = \delta U^L \approx 0$ (режим $k3$) до

$$\delta U = \delta U^H - (2kT/eW_s) \delta W_s, \quad (10)$$

(режим xx). Равенство (10) получено из (7) и (8) при $\delta j_b = 0$, что выполняется в режиме xx . Вместе с тем если $e(U_{bi} - U) \gg kT$, то величина δW_s может оставаться в обоих режимах практически одной и той же. Действительно, из (5) при $\delta U = 0$ и $\delta U = \delta U^H$ имеем соответственно

$$\begin{aligned} \delta W_s^L &= \delta n_t y \Delta y / NW_s = \delta W_s, \\ \delta W_s^H &= \delta n_t y \Delta y / NW_s [1 + kT/e(U_{bi} - U)] \approx \delta n_t y \Delta y / NW_s = \delta W_s. \end{aligned} \quad (11)$$

Рассчитаем теперь спектральные плотности избыточных флуктуаций коллекторного тока в режимах xx и $k3$ на входе.

Для режима xx из (6) и (10) находим

$$\delta j_e^H = j_e \left(\frac{W_s}{w_0} - 2 \right) \frac{\delta W_s}{W_s}, \quad (12)$$

откуда для флуктуации протекающего через элемент площади $Z \Delta x$ коллекторного тока Δi_e , обусловленной $\delta n_t Z \Delta x \Delta y$, имеем

$$\delta(\Delta i_e^H) = \delta(\Delta i_e^H) = \delta j_e^H Z \Delta x, \quad (13)$$

и из (11)–(13), учитывая, что $\delta n_t^2 Z \Delta x \Delta y = N_t f_t f_{tp}$, где N_t — концентрация рассматриваемых центров в ОПЗ, f_t — доля центров, заполненных электронами, f_{tp} — доля пустых центров в объеме $Z \Delta x \Delta y$ [12], получаем

$$\overline{[\delta(\Delta i_e^H)]^2} = \left[\frac{j_e}{W_s} \left(\frac{W_s}{w_0} - 2 \right) \right]^2 (\delta W_s^2)_y Z^2 l \Delta x, \quad (14)$$

где

$$(\delta W_s^2)_y = N_t f_t f_{tp} y^2 \Delta y / (NW_s)^2 Z l. \quad (15)$$

Спектр флуктуаций величины Δi_k^H находим, пользуясь теоремой Винера—Хинчина [8] и соотношениями (14) и (15):

$$\Delta S_i^H(f) = \left[\frac{j_v}{W_s} \left(\frac{W_s}{w_6} - 2 \right) \right]^2 \Delta S_{W_s}(f) Z^2 l \Delta x, \quad (16)$$

где

$$\Delta S_{W_s}(f) = 4 (\delta W_s^2)_y \int_0^\infty C(\tau) \cos 2\pi f \tau d\tau, \quad (17)$$

$C(\tau)$ — функция автокорреляции флуктуаций величины n_t , f — частота.

Поскольку флуктуации δn_t можно считать не коррелированными в пространстве, для спектральной плотности флуктуаций полного коллекторного тока S_i^H имеем

$$S_i^H(f) = \sum_{x,y} \Delta S_i^H = \int_0^l \left[\frac{j_v}{W_s} \left(\frac{W_s}{w_6} - 2 \right) \right]^2 S_{W_s}(f) Z^2 l dx, \quad (18)$$

где

$$S_{W_s}(f) = \sum_y \Delta S_{W_s}(f) = \frac{4N_t}{(NW_s)^2 Z l} \int_0^{W_s} y^2 f_t f_{t,p} dy \int_0^\infty C(\tau) \cos 2\pi f \tau d\tau, \quad (19)$$

причем величина $S_{W_s}(f)$ оставлена под знаком интеграла, так как f_t , $f_{t,p}$ и $C(\tau)$ могут зависеть от U и, следовательно, от x .

В режиме короткого замыкания на входе, пренебрегая падением напряжения во внешней области базы между краем эмиттера и базовым контактом, имеем $\delta U(0)=0$ и

$$\delta U^L = - \int_0^x \delta j_p^L p dx. \quad (20)$$

Таким образом, характерное для режима кз условие $\delta U=0$ будет выполняться во всех точках эмиттера только при $\int_0^x \delta j_p^L p dx = 0$. В общем же случае рассматриваемый шум в режиме кз описывается уравнениями (6)—(8) и (20). Решая их и учитывая при этом (13), (15), (17) и (19), можно найти связь между $S_i^L(f)$ и $S_{W_s}(f)$.

Рассмотрим случай достаточно малых базовых токов, при которых величины j_k , j_p и U можно считать не зависящими от x . Такая ситуация будет иметь место при [15]

$$e i R_6 / 2kT < 1, \quad (21)$$

где $R_6 = \rho l / w_6 Z$, $i_6 = j_6$ (!) $Z w_6 = j_6 Z l$ — измеряемый на опыте постоянный ток базы.

Покажем, что при этом

$$|\delta U^L(x)| < (2kT/ej_p) \delta j_p. \quad (22)$$

В самом деле, полагая, что $\rho \neq \rho(x)$ и $j_p \neq j_p(x)$, из (20) и (8) получим

$$\frac{|\Delta U^L(x)|}{(2kT/ej_p) \delta j_p} \leq \frac{|\Delta U^L(l)|}{(2kT/ej_p) \delta j_p} = \frac{\rho l e i_6}{4kT Z w_6} = \frac{e i_6 R_6}{2(2kT)}. \quad (23)$$

Сравнивая (23) с (21), убеждаемся в справедливости (22).

Из (6), (7) и (22) получаем

$$\begin{aligned} \delta j_p^L &= \left(\frac{j_p}{W_s} \right) \delta W_s, \quad \Delta U^L(x) = -i_6 R_6 \left(\frac{x}{l} - \frac{x^2}{2l^2} \right) \frac{\delta W_s}{W_s}, \\ \delta j_p^L &= i_6 \frac{e j_k}{kT} \frac{\delta W_s}{W_s} \left[\frac{W_s}{w_6} \frac{kT}{e i_6} - R_6 \left(\frac{x}{l} - \frac{x^2}{2l^2} \right) \right]. \end{aligned} \quad (24)$$

Учитывая, что $\delta(\Delta j_k^L) = \delta j_k^L Z \Delta x$, и используя (24), (13), (15), (17), (19), находим

$$S_i^L(f) = \int_0^l \left\{ \frac{i_6}{W_s} \frac{e i_k}{kT} \left[\frac{W_s}{w_6} \frac{kT}{e i_6} - R_6 \left(\frac{x}{l} - \frac{x^2}{2l^2} \right) \right] \right\}^2 S_{W_s}(f) \frac{dx}{l} = \\ = g_m^2 i_6^2 (r_{mod} - r_6)^2 S_{W_s}(f) / W_s^2, \quad (25)$$

где i_k — постоянный ток коллектора, $g_m = e i_k / kT$, $r_6 = \rho l / 3 w_6 Z = R_6 / 3$ [15],

$$r_{mod} = \frac{kT}{e i_6} \frac{W_s}{w_6}. \quad (26)$$

Для $S_i^H(f)$ в рассматриваемом случае из (18) получаем

$$S_i^H(f) = \left[\frac{i_k}{W_s} \left(\frac{W_s}{w_6} - 2 \right) \right]^2 S_{W_s}(f) \approx \beta^2 i_6^2 S_{W_s}(f) / W_s^2, \quad (27)$$

где учли, что $W_s < 2w_6$ и $\beta = \partial i_k / \partial i_6 = 2i_k / i_6$.

Из (27) находим

$$S_\pi(f) = S_i^H(f) / \beta^2 = i_6^2 S_{W_s}(f) / W_s^2, \quad (28)$$

а из (25) и (27) имеем

$$\frac{S_i^L(f) \beta^2}{S_i^H(f) g_m^2} = \frac{S_i^L(f)}{S_\pi(f) g_m^2} = (r_{mod} - r_6)^2. \quad (29)$$

Отсюда при $r_{mod} > r_6$ получаем

$$\left[\frac{S_i^L(f) \beta^2}{S_i^H(f) g_m^2} \right]^{1/2} = r_{mod} = \frac{kT}{e i_6} \frac{W_s}{w_6}. \quad (30)$$

Подчеркнем, что необходимость одновременного выполнения и условия (21) приводит к следующему соотношению:

$$r_6 e i_6 / kT < W_s / w_6 \leq 2/3, \quad (31)$$

которое определяет условия применимости формулы (30). Заметим также, что в случаях, когда структура имеет два базовых контакта, расположенных справа и слева от эмиттера, либо базовый контакт представляет собой кольцо или рамку вокруг эмиттера, имеет место $R_6 = 3r_6 < \rho l / Z w_6$.

Итак, для избыточного токового шума, обусловленного флуктуациями заселенности центров в рассматриваемом переходе, отношение спектральных плотностей S_i^L и S_i^H при достаточно малых токах базы должно удовлетворять соотношению (30), т. е. зависеть только от параметров структуры (W_s , w_6 , β , g_m и i_6). Иными словами, ни от уровня наблюдаемого шума, ни от вида его спектра это отношение зависеть не должно. Последнее представляет особый интерес, когда речь идет об $1/f$ -шуме.

Из изложенного следует, что вопрос о существовании в $p-n$ -переходе избыточного шума (в том числе и $1/f$ -типа), обусловленного флуктуациями заселенности расположенных в нем центров, можно решать экспериментально с помощью транзисторных структур, в которых исследуемый переход является эмиттерным. Сущность используемого при этом метода состоит в следующем: 1) измеряют значения S_i^L и S_i^H , а также β , g_m , W_s , w_6 , T и i_6 ; 2) рассчитывают с помощью этих значений левую и правую части формулы (30); 3) выясняют, выполняется ли равенство (30), и в случае, если оно оказывается справедливым, делают вывод о реализации рассматриваемого механизма.

2. Экспериментальное обнаружение $1/f$ -шума, обусловленного флуктуациями заселенности центров в кремниевых $n^+ - p$ -переходах

На рис. 1 показаны зависимости спектральной плотности $1/f$ -шума базового тока от величины этого тока i_b , измеренные на разных партиях $n^+ - p - n$ -структур, различающихся технологическими режимами их получения, а также толщиной и степенью легирования p -базы. По двум последним параметрам образцы можно было разделить на две группы: к I группе относятся образцы с тонкой ($w_b = 0.4 \pm 0.6$ мкм) слабо легированной базой [$N_A = (0.5 \pm 1) \times 10^{16} \text{ см}^{-3}$], а ко II — образцы с толстой ($w_b = 0.6 \pm 0.9$ мкм) более сильно легированной базой [$N_A = (0.5 \pm 1) \cdot 10^{17} \text{ см}^{-3}$], так что входящие в (30) величины W_b/w_b для них были существенно различными (в среднем для структур I группы эти величины в 4.5 раза больше, чем для II).

Видно, что как характер зависимостей $S_\pi(i_b)$, так и уровень рассматриваемых

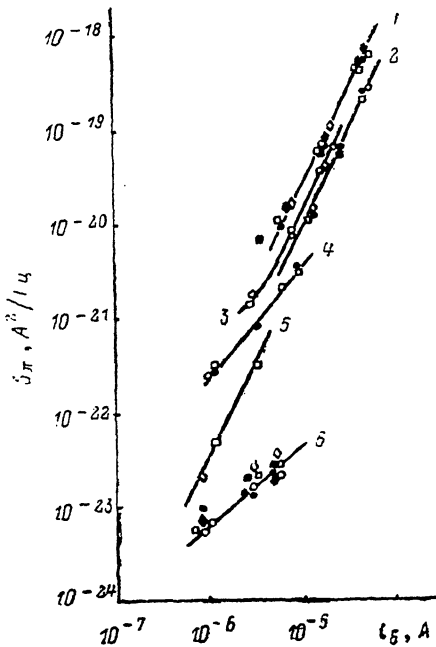


Рис. 1. Зависимости спектральной плотности $1/f$ -флуктуаций тока базы от величины этого тока для $n^+ - p - n$ -структур из различных партий.

1—6 — номера партий; $f=30$ Гц; $T=300$ К.

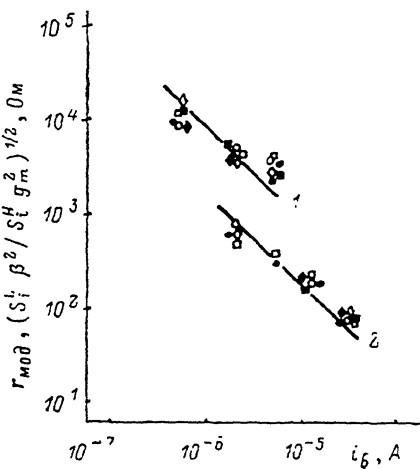


Рис. 2. Зависимости $r_{\text{mod}}(i_b)$, рассчитанные по формуле (30) для образцов из I и II групп (сплошные линии 1 и 2 соответственно), и экспериментальные значения величин $(S_i^L \beta^2 / S_i^H g_m^2)^{1/2}$, измеренные в области $1/f$ -шума при различных токах базы на образцах из партий 1—6.

$f=30$ Гц; $T=300$ К.

мого $1/f$ -шума в различных образцах могут существенно различаться. Так, имели место и зависимости $S_\pi \sim i_b^2$, и зависимости $S_\pi \sim i_b$, а величины S_π при одном и том же значении i_b могли различаться более чем в 100 раз.

На рис. 2 для этих же структур построены зависимости величины $(S_i^L \beta^2 / S_i^H g_m^2)^{1/2}$ от тока базы. Видно, что, несмотря на существующий для рассматриваемых образцов значительный разброс кривых $S_\pi(i_b)$, все экспериментальные точки, соответствующие различным значениям $[S_i^L \beta^2 / S_i^H g_m^2]^{1/2}$, расположились на двух рассчитанных по формуле (30) теоретических кривых $r_{\text{mod}}(i_b)$, соответствующих двум исследованным группам структур, которые различались величиной W_b/w_b . При этом, как и следовало ожидать, на верхней кривой оказались экспериментальные точки, соответствующие образцам I группы, а на нижней — образцам II группы, для которых величины W_b/w_b были меньшими.

Подчеркнем, что условия (31), при которых получена формула (30), на опыте также выполнялись. Действительно, величины W_b/w_b для кривых 1 и 2 (рис. 2) равны 0.7 и 0.2 соответственно, что свидетельствует о выполнении правого не-

равенства в (31). Что касается левого неравенства в (31), то, поскольку в исследованных структурах $i_6 \approx R_6/8T$ [16], его можно преобразовать к виду

$$N > i_6^2 e / (8\pi m k T)^2 \approx (U_{bi} - U).$$

При этом для максимальных экспериментальных значений i_6 находим $N_1 > 10^{15}$ и $N_2 > 6 \cdot 10^{16} \text{ см}^{-3}$ для кривых 1 и 2 соответственно, что хорошо согласуется с величинами N_A для двух исследованных типов транзисторных структур [$N_{A1} = (5 \div 10) \cdot 10^{15}$ и $N_{A2} = (5 \div 10) \cdot 10^{16} \text{ см}^{-3}$].

Итак, удалось установить, что для исследованного $1/f$ -шума в широком диапазоне значений i_6 , W_s и w_s имеет место хорошее количественное согласие экспериментальных данных с теоретическими. Отсюда следует, что наблюдаемый в исследованных $n^+ - p$ -переходах $1/f$ -шум был обусловлен $1/f$ -флуктуациями заселенности расположенных в них центров. «Шумящим» оказался весь наблюдаемый ток базы [так как именно его величину использовали при расчете теоретических кривых по формуле (30)]. Это означает, что источники шума распределены по переходу равномерно.

Стоит также указать на то, что о связи рассматриваемого шума с центрами в исследованных переходах свидетельствует, по-видимому, и следующий экспериментальный факт. Оказалось, что величины S_π коррелируют со значениями β как для различных партий образцов, так и внутри одной партии. Это показано в табл. 1 и 2, из которых видно, что большие значения S_π соответствуют

Таблица 1

Средние значения S_π и β для разных партий $n^+ - p - n$ -структур, измеренные при $i_6 = 3 \cdot 10^{-5} \text{ A}$, $f = 30 \text{ Гц}$, $T = 300 \text{ K}$

Партия образцов	$S_\pi, \text{ А}^2/\text{Гц}$	β
1	$4 \cdot 10^{-19}$	55
3	$1 \cdot 10^{-19}$	175
6	$1 \cdot 10^{-22}$	1000

Таблица 2

Значения S_π и β для различных образцов из партии 3, измеренные при $i_6 = 3 \cdot 10^{-5} \text{ A}$, $f = 30 \text{ Гц}$, $T = 300 \text{ K}$

№ образца	$S_\pi, \text{ А}^2/\text{Гц}$	β
1	$2.5 \cdot 10^{-20}$	200
4	$6 \cdot 10^{-20}$	175
5	$7 \cdot 10^{-20}$	162

меньшим значениям β . Такую корреляцию легко объяснить разной концентрацией рассматриваемых центров в различных образцах. Действительно, если шумящие центры являются эффективными центрами рекомбинации, то рост их концентрации как раз и будет приводить, с одной стороны, к усилению шума и к росту i_6 , т. е. к уменьшению β , — с другой.

Относительно причины $1/f$ -характера исследованного шума заметим следующее. Вполне вероятно, что он был связан с наличием полосы энергетических уровней шумящих центров. В пользу этого свидетельствует, например, тот факт, что для i_6 во многих случаях наблюдалась зависимость вида $i_6 \sim \sim \exp(eU_s/mkT)$, где $m \approx 4/3$, которая также может найти объяснение, если предположить, что $i_6 = i_p Z_l$, причем рекомбинационные уровни образуют полосу [17, 18].

С другой стороны, существует ряд опытов, свидетельствующих о том, что $1/f$ -флуктуации могут сопровождать и процессы захвата и выброса носителей, происходящие на дефектах с одним дискретным энергетическим уровнем [19]. Наконец, существуют и другие возможности объяснения $1/f$ -спектров [20].

3. Обнаружение в $n^+ - p$ -переходах $1/f$ -шума, не обусловленного флуктуациями заселенности центров в переходе

Среди исследованных партий образцов со слабо легированной тонкой базой встречались партии, в которых $1/f$ -компонент в спектрах шума коллекторного тока $S_\pi^L(f)$ практически не проявлялся вплоть до $f = 20 \text{ Гц}$. Вместе с тем в шуме базового тока $1/f$ -составляющая была в диапазоне $20 \text{ Гц} \leq f \leq 1 \text{ кГц}$ хорошо

различима, хотя соответствующие ей значения S_x оказывались существенно более низкими, чем в других образцах.

Покажем, что описанное поведение не находит объяснения в рамках модели W_x -флуктуаций. Действительно, из соотношения (30) следует, что в случае, если наблюдаемая величина S_x связана с такими флуктуациями, в шуме коллекторного тока $S_x^L(f)$ также должна существовать соответствующая $1/f$ -составляющая $(S_x^L)^{1/f}$:

$$(S_x^L)^{1/f}/g_m^2 = S_x(r_{\text{мод}} - r_0)^2. \quad (32)$$

Мы рассчитали эту величину, подставляя в правую часть (32) измеренные при $f=30$ Гц значения S_x , а также найденные по приведенным выше формулам величины $r_{\text{мод}}$ и r_0 , и сравнили ее с экспериментальными значениями $(S_x^L/g_m^2)^{\text{эксп}}$.

Оказалось, что во всем исследованном диапазоне базовых токов рассчитанные величины существенно превышали наблюдавшиеся на опыте: $S_x(r_{\text{мод}} - r_0)^2 > (S_x^L/g_m^2)^{\text{эксп}}$ (рис. 3). Это означает, что если бы рассматриваемый $1/f$ -шум базового тока был результатом W_x -флуктуаций, то в исследованных условиях их вклад должен был бы проявиться и в спектрах $S_x^L(f)$, а именно наблюдавшиеся в области низких частот величины S_x^L оказались бы значительно выше и при этом $S_x^L \sim 1/f$, т. е. $1/f$ -составляющая в спектрах $S_x^L(f)$ должна была бы четко проявляться.

б) $S_x^L/g_m^2, B^2/\Gamma_0$
 i_b, A

1 — зависимость спектральной плотности $1/f$ -флуктуации тока базы от величины этого тока;
2 — измеренная на опыте зависимость величины S_x^L/g_m^2 от i_b ; 3 — рассчитанная по формуле (32) зависимость (S_x^L/g_m^2) от i_b ; $f = 30$ Гц; $T = 300$ К.

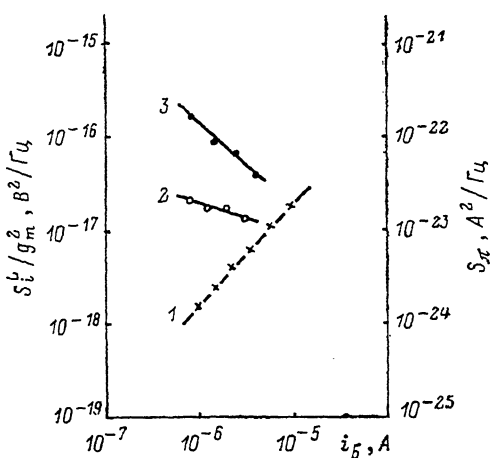


Рис. 3. Шумовые характеристики образцов, у которых в спектрах $S_x^L(f)$ при $f \geq 20$ Гц не наблюдался $1/f$ -участок.

1 — зависимость спектральной плотности $1/f$ -флуктуации тока базы от величины этого тока;
2 — измеренная на опыте зависимость величины S_x^L/g_m^2 от i_b ; 3 — рассчитанная по формуле (32) зависимость (S_x^L/g_m^2) от i_b ; $f = 30$ Гц; $T = 300$ К.

Тот факт, что на опыте такая ситуация не наблюдалась, дает основание утверждать, что в рассматриваемых образцах $1/f$ -шум $n^+ - p$ -перехода не был обусловлен флуктуациями его ширины и, следовательно, не был связан с флуктуациями заселенности расположенных в нем центров, т. е. имел другую природу.

Заметим, что для этого шума характерным оказался линейный рост S_x с i_b . Это согласуется с предположением о связи его с μ -флуктуациями [1, 6]. Вклад такого шума в величину S_x^L равен $S_x r_0^2$. Эта величина, как показывают оценки, даже при $f=20$ Гц существенно ниже полученных значений S_x^L . Поэтому в измеряемых спектрах $S_x^L(f)$ такой $1/f$ -шум практически проявляться не должен, что и наблюдалось на опыте.

Выводы. Экспериментально показано, что в кремниевых $p-n$ -переходах существует токовый $1/f$ -шум, обусловленный $1/f$ -флуктуациями ширины перехода, а следовательно, $1/f$ -флуктуациями заселенности расположенных в ОПЗ центров.

Приведены также экспериментальные доказательства существования в таких переходах $1/f$ -шума, не связанного с подобными флуктуациями ширины перехода и обладающими чертами, характерными для μ -шума.

Список литературы

- [1] Kleinpenning T. G. M. // Physica B+C. 1986. V. 138. N 3. P. 244—252.
- [2] Van Vliet C. M., Van der Ziel A. // Sol. St. Electron. 1987. V. 30. N 7. P. 777—778.
- [3] Kilmers J., Van der Ziel A., Bosman G. // Sol. St. Electron. 1985. V. 28. N 3. P. 287—288.
- [4] Лукьянчикова Н. Б., Гарбар Н. П., Партика М. В., Кропман Д. И., Дудкин В. И., Паометс В. Т., Юрьев А. О. // Радиотехн. и электрон. 1988. Т. 33. В. 2. С. 400—408.

- [5] Лукьянчикова Н. Б., Гарбар Н. П., Лисянский М. И., Коган Л. М. // ФТП. 1983. Т. 17. В. 8. С. 1424—1429.
- [6] Kleinpenning T. G. M. // J. Vac. Sci. Techn. 1985. V. A3. N 1. P. 176—182.
- [7] Wu X., Anderson J. B., Van der Ziel A. // IEEE Trans. Electron. Dev. 1987. V. ED-34. N 9. P. 1871—1877.
- [8] Ван-дер-Зил А. Флуктуационные явления в полупроводниках / Под ред. Ф. В. Бункина. М., 1961. 232 с.
- [9] Jäntschi O. // IEEE Trans. Electron. Dev. 1987. V. ED-34. N 5. P. 1100—1115.
- [10] Дьяконова Н. В., Левинштейн М. Е. // ФТП. 1989. Т. 23. В. 2. С. 283—291.
- [11] Hsu S. T. // IEEE Trans. Electron. Dev. 1970. V. ED-17. N 7. P. 496—506.
- [12] Lauritzen P. O. // Sol. St. Electron. 1965. V. 8. N 1. P. 41—58.
- [13] Таратута А. С., Чайка Г. Е. // УФЖ. Т. 13. В. 6. С. 931—938.
- [14] Зи С. Физика полупроводниковых приборов. Т. 1 / Под ред. Р. А. Суриса. М., 1984. 455 с.
- [15] Hauser J. R. // IEEE Trans. Electron. Dev. 1984. V. ED-31. N 5. P. 238—242.
- [16] Knott K. F., Sutcliffe M. A. // Proc. IEE. 1973. V. 120. N 6. P. 623—628.
- [17] Leiderman A. Ju. // Phys. St. Sol. (a). 1985. V. 87. N 2. P. 363—372.
- [18] Hack M., Shur M. // J. Appl. Phys. 1983. V. 54. N 10. P. 5858—5863.
- [19] Лукьянчикова Н. Б., Гарбар Н. П., Сашук А. П., Кропман Д. И., Петричук М. В. // Флуктуационные явления в физических системах. Вильнюс, 1988. С. 141—143.
- [20] Орлов В. В., Якимов А. В. // Изв. вузов СССР. Радиофизика. 1984. Т. 27. В. 12. С. 1584—1587.

Институт полупроводников АН УССР
Киев

Получена 29.06.1989
Принята к печати 23.05.1990